

# TD 1

## Tour en fosse utilisé pour le reprofilage des roues ferroviaires – Asservissement du porte-outil– Sujet

Concours Centrale Supélec – PSI 2018.

B2-07

C2-02

### Modélisation du mouvement pour la commande

#### Objectif

Modéliser le comportement dynamique de l'outil et du porte-outil, puis étudier une commande en position  $z_1(t)$  comprenant un correcteur proportionnel.

Le système composé de l'outil et du porte-outil est modélisé sur la figure 2. Le porte-outil, de masse  $m_1 = 5522$  kg, est considéré indéformable et en liaison glissière de direction  $\vec{z}_0$  avec le bâti. Une chaîne de motorisation électrique permet de déplacer le porte-outil et une structure de commande associée permet d'asservir la position  $z_1(t)$  par rapport à une position de référence. La chaîne de motorisation exerce une force motrice  $\vec{f}_m(t) = f_m(t)\vec{z}_0$  sur le porte-outil.

La cahier des charges est donné sur la figure suivante.

req Tour en fosse [pilotage porte-outil]		
<p>*requirement*</p> <p>Reprofilage une roue</p> <p>id = 1</p> <p>text = "Le pilotage du porte-outil doit assurer un reprofilage rapide et sans génération de vibrations auto-entretenues de l'outil."</p>		
refine	refine	refine
<p>*requirement*</p> <p>Marge de phase de l'asservissement en position <math>z_1(t)</math> du porte-outil</p> <p>id = 1.1</p> <p>text = "<math>M_\varphi = 60^\circ</math>"</p>	<p>*requirement*</p> <p>Déplacement de l'outil selon <math>\vec{u}</math></p> <p>id = 1.3</p> <p>text = "<math>b = \frac{0.2}{\pi}</math> mm·rad<math>^{-1}</math>"</p>	<p>*requirement*</p> <p>Erreur en régime permanent sur la position <math>z_2(t)</math> de l'outil lorsque l'effort de coupe est constant <math>f_c(t) = f_{c0}\mathcal{H}(t)</math>, avec <math>f_{c0} = 1</math> kN</p> <p>id = 1.4</p> <p>text = "<math>\Delta e &lt; 40</math> <math>\mu\text{m}</math>"</p>
<p>*requirement*</p> <p>Pulsation de coupure à 0 dB de <math>H_{BO}(j\omega)</math> de l'asservissement du porte-outils</p> <p>id = 1.2</p> <p>text = "<math>\omega_{0dB} = 200</math> rad·s<math>^{-1}</math>"</p>	<p>*requirement*</p> <p>Défait de la roue lorsque la perturbation est du type <math>f_c(t) = f_{c1}\sin(\omega t)\mathcal{H}(t)</math>, avec <math>f_{c1} = 100</math> N</p> <p>id = 1.5</p> <p>text = "<math>\Delta u &lt; 30</math> <math>\mu\text{m}</math>"</p>	

Les positions du porte-outil et du point C par rapport à leur position de référence sont respectivement paramétrées par  $z_1(t)\vec{z}_0$  et  $z_2(t)\vec{z}_0$ , avec  $z_1(t)\vec{z}_0$  et  $z_2(t)\vec{z}_0$  des grandeurs algébriques (figure 2). Les conditions initiales sont toujours supposées nulles.

Le théorème de la résultante dynamique appliqué au porte-outil puis à l'outil permet

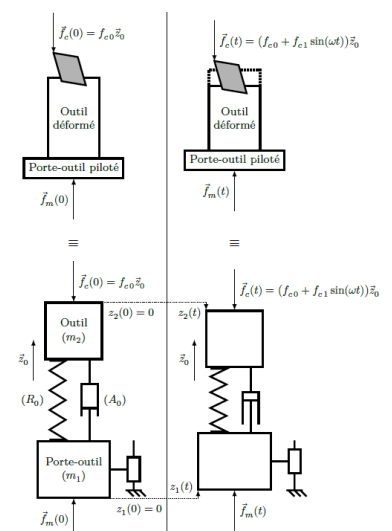
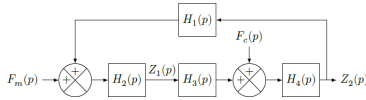


FIGURE 2 – Modèle de déformation de l'outil avec le porte-outil piloté

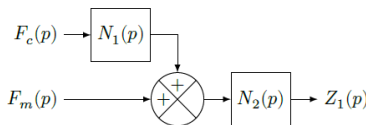
d'obtenir les deux relations suivantes :

$$\begin{aligned} m_1 \ddot{z}_1(t) + \lambda \dot{z}_1(t) + K z_1(t) &= \lambda \dot{z}_2(t) + K z_2(t) + f_m(t) \\ m_2 \ddot{z}_2(t) + \lambda \dot{z}_2(t) + K z_2(t) &= \lambda \dot{z}_1(t) + K z_1(t) + f_c(t) \end{aligned}$$

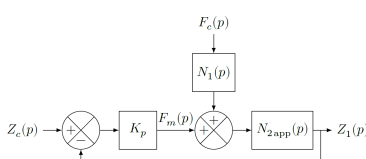
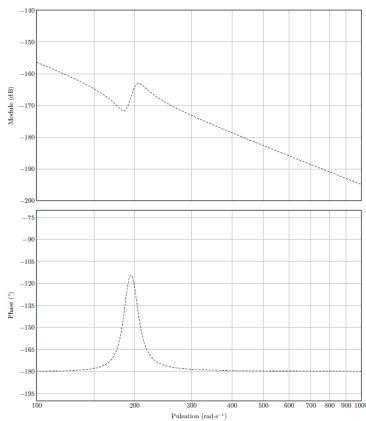
Le modèle correspondant est représenté par le schéma bloc de la [figure 3](#).



**FIGURE 3** – Modèle de l'outil et du porte-outil

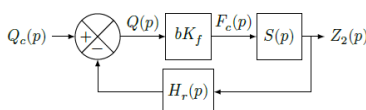


**FIGURE 4** – Modèle équivalent



**FIGURE 5** – Modèle de synthèse de la régulation en position  $z_1(t)$  du porte-outil

D'un point de vue numérique,  $K_f = 1,5 \times 10^9 \text{ N m}^{-2}$  et  $\tau = 1 \text{ s}$ .



**FIGURE 6** – Modèle équivalent de la chaîne d'asservissement complète

**Question 1** Exprimer les fonctions  $H_1(p)$ ,  $H_2(p)$ ,  $H_3(p)$  et  $H_4(p)$  en fonction de  $K$ ,  $\lambda$ ,  $m_1$  et  $m_2$ .

Le modèle de la [figure 3](#) est réduit au modèle équivalent de la [figure 4](#).

**Question 2** Exprimer  $N_1(p)$  et  $N_2(p)$  en fonction de  $H_1(p)$ ,  $H_2(p)$ ,  $H_3(p)$  et  $H_4(p)$ .

**Question 3** Montrer que  $N_2(p)$  peut s'écrire sous la forme  $N_2(p) = A \frac{p^2 + 2\xi_1\omega_1 p + \omega_1^2}{p^2 (p^2 + 2\xi_2\omega_2 p + \omega_2^2)}$ . Exprimer  $\xi_1$ ,  $\xi_2$ ,  $\omega_1$ ,  $\omega_2$  et  $A$  en fonction de  $m_1$ ,  $m_2$ ,  $\lambda$  et  $K$ .

Le diagramme de Bode associé à la fonction de transfert  $N_2(p)$  est représenté ci-contre.

**Question 4** Compléter ce diagramme par les tracés asymptotiques en module et en phase, et conclure sur la cohérence du diagramme donné.

**Question 5** Au regard des valeurs numériques, montrer que la fonction de transfert  $N_2(p)$  peut être approchée par la fonction  $N_{2app}(p) = \frac{A}{p^2}$ . En utilisant une couleur différente, tracer le diagramme de Bode associé à la fonction de transfert  $N_{2app}(p)$  sur le document réponse et conclure sur la validité de ce modèle approché.

Le modèle approché ( $N_{2app}(p)$ ) est retenu pour la suite de l'étude. Le schéma bloc modélisant la régulation de la position  $z_1(t)$  est donné en [figure 5](#), en considérant un correcteur proportionnel de gain  $K_p$ .

**Question 6** Justifier qu'une correction proportionnelle ne permet pas de respecter l'ensemble des critères du diagramme des exigences de la [figure 1](#).

## Analyse de l'influence d'un paramètre

On a d'une part  $Q(p) = Q_c(p) - Z_2(p)H_r(p)$ .

D'autre part, la quantité de matière enlevée est donnée par  $q(t) = q_c(t) - z_2(t) + z_2(t - \tau)$  où  $\tau$  est la durée nécessaire à la roue pour effectuer un tour complet.

**Question 7** Déterminer  $H_r(p)$  en fonction de  $\tau$ .

Le schéma-blocs retenu est donné ci-contre.

La [figure 7](#) représente le diagramme de Bode de la fonction de transfert en boucle ouverte du système modélisé [figure 6](#), avec  $b = \frac{5 \times 10^{-2}}{\pi} \text{ mm rad}^{-1}$

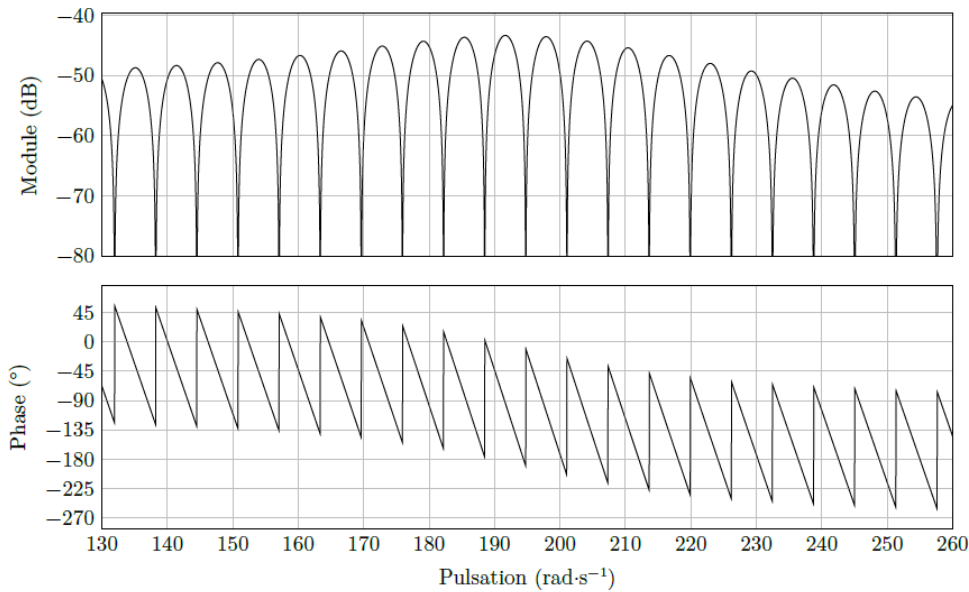


FIGURE 7 – Diagramme de Bode de la boucle ouverte du schéma-blocs

Les « zéros de transmission » d'une fonction de transfert  $H(p)$  correspondent aux pulsations  $\omega$  pour lesquelles  $H(j\omega)$  est nul.

**Question 8** Préciser l'expression de la fonction de transfert en boucle ouverte de la figure 16 puis vérifier la cohérence du diagramme de Bode de la figure 7 en analysant les « zéros de transmission ».

**Question 9** Déterminer un ordre de grandeur du paramètre  $b$  permettant de conserver la stabilité du système en boucle fermée. Conclure sur la compatibilité de cette valeur maximale avec un bon amortissement de l'asservissement.

#### Éléments de correction

1.  $H_1(p) = \lambda p + K$ ,  $H_2(p) = \frac{1}{m_1 p^2 + \lambda p + K}$ ,  $H_3(p) = \lambda p + K$ ,  $H_4(p) = \frac{1}{m_2 p^2 + \lambda p + K}$ .
2.  $N_1(p) = H_1(p)H_4(p)$  et  $N_2(p) = \frac{H_2(p)}{1 - H_1(p)H_2(p)H_3(p)H_4(p)}$ .
3.  $\omega_1^2 = \frac{K}{m_2}$ ,  $\omega_2^2 = K \frac{m_1 + m_2}{m_1 m_2}$ ,  $\xi_1 = \frac{\lambda}{2\sqrt{m_2 K}}$  et  $\xi_2 = \lambda \frac{\sqrt{m_1 + m_2}}{2\sqrt{K m_1 m_2}}$ .
4. .
5.  $A = 1,87 \cdot 10^{-4}$ .
6. .
7.  $H_r(p) = 1 - e^{-\tau p}$ .
8. .
9.  $b_{\text{lim}} = 2,83 \text{ mm rad}^{-1}$ .

